

# **MS BGD**

## **MDI 720 : Ridge / Tikhonov**

**Joseph Salmon**

<http://josephsalmon.eu>

Télécom ParisTech

# Plan

## Définitions de l'estimateur Ridge

Point de vue par SVD

Point de vue par pénalisation

Analyse du biais par la SVD

Analyse de la variance par la SVD

## Choix du paramètre de régularisation

Notion de chemin de régularisation

Validation Croisée (CV)

## Algorithmes et aspects computationnels

# Sommaire

## Définitions de l'estimateur Ridge

Point de vue par SVD

Point de vue par pénalisation

Analyse du biais par la SVD

Analyse de la variance par la SVD

## Choix du paramètre de régularisation

Notion de chemin de régularisation

Validation Croisée (CV)

## Algorithmes et aspects computationnels

# Rappel

$$\mathbf{y} = X\boldsymbol{\theta}^* + \boldsymbol{\epsilon}$$

- ▶  $\mathbf{y} \in \mathbb{R}^n$  est le vecteur des observations
- ▶  $X \in \mathbb{R}^{n \times p}$  est la matrice des variables explicatives
- ▶  $\boldsymbol{\theta}^* \in \mathbb{R}^p$  est le **vrai** paramètre du modèle que l'on veut retrouver.
- ▶  $\boldsymbol{\epsilon} \in \mathbb{R}^n$  est le bruit

Rem: possiblement une variable supplémentaire pour la constante

# La décomposition en valeur singulières

Théorème : Golub et Van Loan (2013)

Pour toute matrice  $X \in \mathbb{R}^{n \times p}$ , il existe deux matrices orthogonales  $U = [\mathbf{u}_1, \dots, \mathbf{u}_n] \in \mathbb{R}^{n \times n}$  et  $V = [\mathbf{v}_1, \dots, \mathbf{v}_p] \in \mathbb{R}^{p \times p}$ , telles que

$$U^\top X V = \text{diag}(s_1, \dots, s_{\text{rg}(X)}) = \Sigma \in \mathbb{R}^{n \times p}$$

avec  $s_1 \geq s_2 \geq \dots \geq s_{\text{rg}(X)} > 0$ , avec  $\text{rg}(X) = \text{rang}(X)$ .

$$X = U \Sigma V^\top \Leftrightarrow X = \sum_{i=1}^{\text{rg}(X)} s_i \mathbf{u}_i \mathbf{v}_i^\top$$

**Une** solution des moindres carrés est alors :

$$\hat{\theta}^{\text{MCO}} = X^+ \mathbf{y} = \sum_{i=1}^{\text{rg}(X)} \frac{1}{s_i} \mathbf{v}_i \mathbf{u}_i^\top \mathbf{y}$$

# Retour sur les problèmes numériques

$$\hat{\theta}^{\text{MCO}} = X^+ \mathbf{y} = \sum_{i=1}^{\text{rg}(X)} \frac{1}{s_i} \mathbf{v}_i \mathbf{u}_i^\top \mathbf{y}$$

Si les plus petites valeurs singulières  $s_i$  s'approchent de zéro alors la solution numérique de la SVD n'est pas stable !

Rem: le défaut n'est pas propre aux moindres carrés, mais inhérent aux problèmes difficiles (on dit aussi "mal posé" en analyse numérique et en traitement du signal)

## Les équations normales

Une solution  $\boldsymbol{\theta}$  des moindres carrés doit vérifier :

$$X^\top X \boldsymbol{\theta} = X^\top \mathbf{y} \Leftrightarrow V \Sigma^\top \Sigma V^\top \boldsymbol{\theta} = V \Sigma^\top U^\top \mathbf{y}$$

et si l'on cherche  $\boldsymbol{\theta}$  sous la forme  $\boldsymbol{\theta} = V\boldsymbol{\beta}$ , c'est équivalent à

$$\Sigma^\top \Sigma \boldsymbol{\beta} = \Sigma^\top U^\top \mathbf{y}$$

$\Sigma^\top \Sigma$  diagonale avec  $r = \text{rang}(X)$  éléments non nuls qui sont les  $s_i^2$

$$\Sigma^\top \Sigma = \begin{bmatrix} s_1^2 & & 0 & | & 0 \\ & \ddots & & | & 0 \\ 0 & & s_r^2 & | & 0 \\ \hline & 0 & & | & 0 \end{bmatrix} \in \mathbb{R}^{p \times p}$$

## Les équations normales (suite)

Alternative régularisée : résoudre les équations normales

$$\left[ \begin{array}{cc|c} s_1^2 & 0 & 0 \\ \ddots & & \\ 0 & s_r^2 & \\ \hline 0 & 0 & 0 \end{array} \right] \text{ remplacé par } \left[ \begin{array}{cc|c} s_1^2 & 0 & 0 \\ \ddots & & \\ 0 & s_r^2 & \\ \hline 0 & 0 & 0 \end{array} \right] + \lambda \text{Id}_p$$

De manière synthétique cela s'écrit :  $(\lambda \text{Id}_p + \Sigma^\top \Sigma) \beta = \Sigma^\top U^\top \mathbf{y}$

i.e., on ajoute à toutes les valeurs propres de  $X^\top X$  un terme

$\lambda > 0$  "petit",  $\lambda$  est nommé **paramètre de régularisation**

$$\beta = (\lambda \text{Id}_p + \Sigma^\top \Sigma)^{-1} \Sigma^\top U^\top \mathbf{y}$$

et donc

$$\theta = V(\lambda \text{Id}_p + \Sigma^\top \Sigma)^{-1} \Sigma^\top U^\top \mathbf{y}$$

## Ridge forme explicite

Avec la SVD, l'équation suivante se simplifie :

$$\boldsymbol{\theta} = V(\lambda \text{Id}_p + \Sigma^\top \Sigma)^{-1} \Sigma^\top U^\top \mathbf{y}$$

Cela donne une première forme de l'estimateur *Ridge*

$$\hat{\boldsymbol{\theta}}_\lambda^{\text{rdg}} = (\lambda \text{Id}_p + X^\top X)^{-1} X^\top \mathbf{y}$$

Rappel : sous l'hypothèse de plein rang  $\hat{\boldsymbol{\theta}}^{\text{MCO}} = (X^\top X)^{-1} X^\top \mathbf{y}$

Rem:

$$\lim_{\lambda \rightarrow 0^+} \hat{\boldsymbol{\theta}}_\lambda^{\text{rdg}} = \hat{\boldsymbol{\theta}}^{\text{MCO}}$$

$$\lim_{\lambda \rightarrow +\infty} \hat{\boldsymbol{\theta}}_\lambda^{\text{rdg}} = 0 \in \mathbb{R}^p$$

## Astuce du noyau

*Astuce du noyau* (🇬🇧 : *Kernel trick*) : Selon si  $n > p$  ou  $n \leq p$ , une méthode qui cherche à trouver une solution de Ridge par inversion peut préférer l'une des deux formulations suivantes :

$$X^\top (XX^\top + \lambda \text{Id}_n)^{-1} \mathbf{y} = (X^\top X + \lambda \text{Id}_p)^{-1} X^\top \mathbf{y}$$

- ▶ membre de gauche : on résout un système  $n \times n$
- ▶ membre de droite : on résout un système  $p \times p$

Rem: cette propriété est aussi très utile pour les méthodes à noyaux de type SVM (*cf.* cours de *Machine Learning*)

---

**Exo:** Démontrer la propriété précédente avec la SVD

---

# Sommaire

## Définitions de l'estimateur Ridge

Point de vue par SVD

Point de vue par pénalisation

Analyse du biais par la SVD

Analyse de la variance par la SVD

## Choix du paramètre de régularisation

Notion de chemin de régularisation

Validation Croisée (CV)

## Algorithmes et aspects computationnels

## Ridge / Tikhonov : la définition pénalisée

$$\hat{\boldsymbol{\theta}}_{\lambda}^{\text{rdg}} = \arg \min_{\boldsymbol{\theta} \in \mathbb{R}^p} \left( \underbrace{\|\mathbf{y} - X\boldsymbol{\theta}\|_2^2}_{\text{attache aux données}} + \underbrace{\lambda \|\boldsymbol{\theta}\|_2^2}_{\text{régularisation}} \right)$$

- Noter que l'estimateur *Ridge* est **unique** pour un  $\lambda$  fixé
- On retrouve de nouveau les cas limites :

$$\lim_{\lambda \rightarrow 0} \hat{\boldsymbol{\theta}}_{\lambda}^{\text{rdg}} = \hat{\boldsymbol{\theta}}^{\text{MCO}} \text{(solution de norme } \|\cdot\|_2 \text{ minimale)}$$

$$\lim_{\lambda \rightarrow +\infty} \hat{\boldsymbol{\theta}}_{\lambda}^{\text{rdg}} = \mathbf{0} \in \mathbb{R}^p$$

- Lien des deux formulations par les CNO : pour

$$f(\boldsymbol{\theta}) = \frac{\|\mathbf{y} - X\boldsymbol{\theta}\|_2^2}{2} + \frac{\lambda \|\boldsymbol{\theta}\|_2^2}{2}$$

$$\nabla f(\boldsymbol{\theta}) = X^T(X\boldsymbol{\theta} - \mathbf{y}) + \lambda \boldsymbol{\theta} = 0 \Leftrightarrow (X^T X + \lambda \text{Id}_p) \boldsymbol{\theta} = X^T \mathbf{y}$$

# Interprétation contrainte

Un problème de la forme “Lagrangienne” suivante :

$$\arg \min_{\theta \in \mathbb{R}^p} \left( \underbrace{\frac{1}{2} \|\mathbf{y} - X\boldsymbol{\theta}\|_2^2}_{\text{attaché aux données}} + \underbrace{\frac{\lambda}{2} \|\boldsymbol{\theta}\|_2^2}_{\text{régularisation}} \right)$$

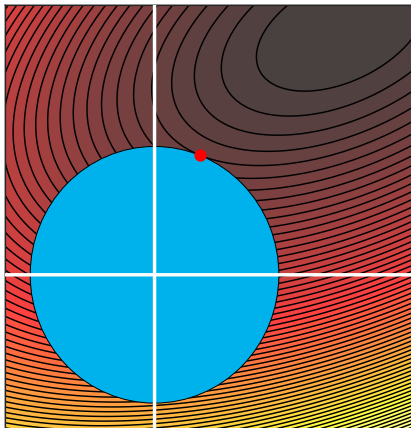
admet pour un certain  $T > 0$  la même solution que :

$$\begin{cases} \arg \min_{\theta \in \mathbb{R}^p} \|\mathbf{y} - X\boldsymbol{\theta}\|_2^2 \\ \text{t.q. } \|\boldsymbol{\theta}\|_2^2 \leq T \end{cases}$$

Rem: le lien  $T \leftrightarrow \lambda$  n'est pas explicite !

- ▶ Si  $T \rightarrow 0$  on retrouve le vecteur nul :  $0 \in \mathbb{R}^p$
- ▶ Si  $T \rightarrow \infty$  on retrouve  $\hat{\boldsymbol{\theta}}^{\text{MCO}}$  (non contraint)

# Lignes de niveau et ensemble de contraintes



Optimisation sous contraintes  $\ell_2$

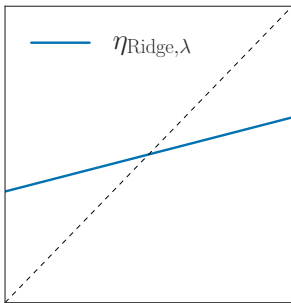
## Le cas orthogonal

Retour sur un cas simple  $X^\top X = \text{Id}_p$

$$\hat{\theta}_\lambda^{\text{rdg}} = (\lambda \text{Id}_p + X^\top X)^{-1} X^\top \mathbf{y}$$

$$\hat{\theta}_\lambda^{\text{rdg}} = (\lambda \text{Id}_p + \text{Id}_p)^{-1} X^\top \mathbf{y} = \frac{1}{\lambda + 1} X^\top \mathbf{y}$$

$$\hat{\mathbf{y}} = \frac{1}{\lambda + 1} \mathbf{y} = (\eta_{\text{rdg}, \lambda}(\mathbf{y}_i))_{i=1, \dots, n}$$



Rem: la fonction réelle  $\eta_{\text{rdg}, \lambda}$  est une contraction linéaire (shrinkage)

# Prédiction associée

Partant du coefficient *Ridge* :

$$\hat{\boldsymbol{\theta}}_{\lambda}^{\text{rdg}} = (\lambda \text{Id}_p + X^T X)^{-1} X^T \mathbf{y}$$

la prédiction associée s'obtient ainsi :

$$\hat{\mathbf{y}} = X \hat{\boldsymbol{\theta}}_{\lambda}^{\text{rdg}} = X(\lambda \text{Id}_p + X^T X)^{-1} X^T \mathbf{y}$$

Rem: l'estimateur  $\hat{\mathbf{y}}$  est toujours linéaire en  $\mathbf{y}$

Rem: l'équivalent de la matrice chapeau ( : *hat matrix*) est

$$H_{\lambda} = X(\lambda \text{Id}_p + X^T X)^{-1} X^T = \sum_{j=1}^{\text{rg}(X)} \frac{s_j^2}{s_j^2 + \lambda} \mathbf{u}_j \mathbf{u}_j^T$$

$$\text{Attention : si } \lambda \neq 0, \text{ on n'a plus } H_{\lambda}^2 = H_{\lambda} = \sum_{j=1}^{\text{rg}(X)} \mathbf{u}_j \mathbf{u}_j^T, \text{ i.e., } H_{\lambda}$$

n'est donc pas un projecteur

## Point normalisation et centrage

Rappel : normaliser les  $p$  variables de la même manière pour que la pénalisation contraigne de manière similaire toutes les variables

- centrer l'observation et les variables explicatives  $\Rightarrow$  pas de coefficient pour la variable constante (donc pas de contrainte)
- ne pas centrer les variables explicatives  $\Rightarrow$  ne pas mettre de contrainte sur la variable constante (UK : *bias/intercept*),

$$\hat{\boldsymbol{\theta}}_{\lambda}^{\text{rdg}} = \arg \min_{\boldsymbol{\theta} \in \mathbb{R}^p} \|\mathbf{y} - X\boldsymbol{\theta} - \theta_0 \mathbf{1}_n\|^2 + \lambda \sum_{j=1}^p \theta_j^2$$

Alternative (si l'on n'a pas normalisé) : changer la pénalité en

$$\arg \min_{\boldsymbol{\theta} \in \mathbb{R}^p} \|\mathbf{y} - X\boldsymbol{\theta}\|^2 + \lambda \sum_{j=1}^p \alpha_j \theta_j^2 \quad (\text{e.g., } \alpha_j = \|\mathbf{x}_j\|^2)$$

Rem: pour la validation croisée on utilisera plus naturellement  $\frac{\|\mathbf{y} - X\boldsymbol{\theta}\|^2}{2n}$  que  $\frac{\|\mathbf{y} - X\boldsymbol{\theta}\|^2}{2}$  pour conserver l'amplitude de  $\lambda$

## Point normalisation et centrage (bis)

Ici  $X = [\mathbf{1}_{a_1}, \dots, \mathbf{1}_{a_K}]$  ( $\mathbf{x}_j = \mathbf{1}_{a_j}$ ) et  $(\hat{\theta}_0, \hat{\theta}_1, \dots, \hat{\theta}_K)^\top = (\hat{\theta}_0, \tilde{\boldsymbol{\theta}})^\top$

L'estimateur Ridge (sans pénalité sur les constantes) est défini comme solution de

$$\arg \min_{\theta_0, \dots, \theta_p} f(\theta_0, \dots, \theta_p)$$

$$\text{avec } f(\theta_0, \dots, \theta_K) = \left\| \mathbf{y} - \theta_0 \mathbf{1}_n - \sum_{j=1}^K \theta_j \mathbf{x}_j \right\|^2 + \lambda \sum_{j=1}^K \theta_j^2$$

L'estimateur vérifie les contraintes (CNO) :

$$\begin{cases} \hat{\theta}_0 &= \frac{1}{n} \langle \mathbf{1}_n, \mathbf{y} - X \tilde{\boldsymbol{\theta}} \rangle \\ \tilde{\boldsymbol{\theta}} &= \frac{1}{\lambda} X^\top (\mathbf{y} - \mathbf{1}_n \hat{\theta}_0 - X \tilde{\boldsymbol{\theta}}) \end{cases}$$

Comme  $X^\top \mathbf{1}_n = 0$  alors  $\hat{\theta}_0 = \bar{y}_n$  et  $\langle \mathbf{1}_n, \tilde{\boldsymbol{\theta}} \rangle = 0$ , i.e.,

$$\boxed{\sum_{j=1}^K \hat{\theta}_j = 0}$$

# Sommaire

## Définitions de l'estimateur Ridge

Point de vue par SVD

Point de vue par pénalisation

**Analyse du biais par la SVD**

Analyse de la variance par la SVD

## Choix du paramètre de régularisation

Notion de chemin de régularisation

Validation Croisée (CV)

## Algorithmes et aspects computationnels

## Le biais dans le cas général

Sous l'hypothèse de bruit “blanc”  $\mathbf{y} = X\boldsymbol{\theta}^* + \boldsymbol{\varepsilon}$  avec  $\mathbb{E}(\boldsymbol{\varepsilon}) = 0$  :

$$\begin{aligned}\mathbb{E}(\hat{\boldsymbol{\theta}}_\lambda^{\text{rdg}}) &= \mathbb{E}\left((\lambda \text{Id}_p + X^\top X)^{-1} X^\top \mathbf{y}\right) \\ &= \mathbb{E}\left((\lambda \text{Id}_p + X^\top X)^{-1} X^\top X \boldsymbol{\theta}^* + (\lambda \text{Id}_p + X^\top X)^{-1} X^\top \boldsymbol{\varepsilon}\right) \\ &= (\lambda \text{Id}_p + X^\top X)^{-1} X^\top X \boldsymbol{\theta}^* \\ &= \sum_{i=1}^{\text{rg}(X)} \frac{s_i^2}{s_i^2 + \lambda} \mathbf{v}_i \mathbf{v}_i^\top \boldsymbol{\theta}^*\end{aligned}$$

Rem: on retrouve  $\mathbb{E}(\hat{\boldsymbol{\theta}}^{\text{MCO}}) = \sum_{i=1}^{\text{rg}(X)} \mathbf{v}_i \mathbf{v}_i^\top \boldsymbol{\theta}^*$  quand  $\lambda \rightarrow 0$

Rem: le biais vaut  $-\lambda(X^\top X + \lambda \text{Id}_p)^{-1} \boldsymbol{\theta}^*$  (grâce à la 3<sup>e</sup> ligne)

# Sommaire

## Définitions de l'estimateur Ridge

Point de vue par SVD

Point de vue par pénalisation

Analyse du biais par la SVD

Analyse de la variance par la SVD

## Choix du paramètre de régularisation

Notion de chemin de régularisation

Validation Croisée (CV)

## Algorithmes et aspects computationnels

## Variance dans le cas général

Sous l'hypothèse de bruit “blanc” (*i.e.*,  $\mathbb{E}(\varepsilon) = 0$ ) et de modèle homoscédastique :  $\mathbb{E}(\varepsilon\varepsilon^\top) = \sigma^2 \text{Id}_n$

### Variance / Covariance

$$V_\lambda^{\text{rdg}} = \mathbb{E} \left( (\hat{\boldsymbol{\theta}}_\lambda^{\text{rdg}} - \mathbb{E}(\hat{\boldsymbol{\theta}}_\lambda^{\text{rdg}})) (\hat{\boldsymbol{\theta}}_\lambda^{\text{rdg}} - \mathbb{E}(\hat{\boldsymbol{\theta}}_\lambda^{\text{rdg}}))^\top \right)$$

Calcul explicite :

$$\begin{aligned} V_\lambda^{\text{rdg}} &= \mathbb{E} \left( (\lambda \text{Id}_p + X^\top X)^{-1} X^\top \varepsilon \varepsilon^\top X (\lambda \text{Id}_p + X^\top X)^{-1} \right) \\ &= (\lambda \text{Id}_p + X^\top X)^{-1} X^\top \mathbb{E}(\varepsilon \varepsilon^\top) X (\lambda \text{Id}_p + X^\top X)^{-1} \end{aligned}$$

# Variance dans le cas général

Sous l'hypothèse de bruit “blanc” (*i.e.*,  $\mathbb{E}(\varepsilon) = 0$ ) et de modèle homoscédastique :  $\mathbb{E}(\varepsilon\varepsilon^\top) = \sigma^2 \text{Id}_n$

## Variance / Covariance

$$V_\lambda^{\text{rdg}} = \mathbb{E} \left( (\hat{\boldsymbol{\theta}}_\lambda^{\text{rdg}} - \mathbb{E}(\hat{\boldsymbol{\theta}}_\lambda^{\text{rdg}})) (\hat{\boldsymbol{\theta}}_\lambda^{\text{rdg}} - \mathbb{E}(\hat{\boldsymbol{\theta}}_\lambda^{\text{rdg}}))^\top \right)$$

Calcul explicite :

$$\begin{aligned} V_\lambda^{\text{rdg}} &= \mathbb{E} \left( (\lambda \text{Id}_p + X^\top X)^{-1} X^\top \varepsilon \varepsilon^\top X (\lambda \text{Id}_p + X^\top X)^{-1} \right) \\ &= (\lambda \text{Id}_p + X^\top X)^{-1} X^\top \mathbb{E}(\varepsilon \varepsilon^\top) X (\lambda \text{Id}_p + X^\top X)^{-1} \\ &= \sigma^2 (\lambda \text{Id}_p + X^\top X)^{-2} X^\top X \end{aligned}$$

# Variance dans le cas général

Sous l'hypothèse de bruit “blanc” (i.e.,  $\mathbb{E}(\varepsilon) = 0$ ) et de modèle homoscédastique :  $\mathbb{E}(\varepsilon\varepsilon^\top) = \sigma^2 \text{Id}_n$

## Variance / Covariance

$$V_\lambda^{\text{rdg}} = \mathbb{E} \left( (\hat{\boldsymbol{\theta}}_\lambda^{\text{rdg}} - \mathbb{E}(\hat{\boldsymbol{\theta}}_\lambda^{\text{rdg}})) (\hat{\boldsymbol{\theta}}_\lambda^{\text{rdg}} - \mathbb{E}(\hat{\boldsymbol{\theta}}_\lambda^{\text{rdg}}))^\top \right)$$

Calcul explicite :

$$\begin{aligned} V_\lambda^{\text{rdg}} &= \mathbb{E} \left( (\lambda \text{Id}_p + X^\top X)^{-1} X^\top \varepsilon \varepsilon^\top X (\lambda \text{Id}_p + X^\top X)^{-1} \right) \\ &= (\lambda \text{Id}_p + X^\top X)^{-1} X^\top \mathbb{E}(\varepsilon \varepsilon^\top) X (\lambda \text{Id}_p + X^\top X)^{-1} \\ &= \sigma^2 (\lambda \text{Id}_p + X^\top X)^{-2} X^\top X \\ &= \sum_{i=1}^{\text{rg}(X)} \frac{s_i^2 \sigma^2}{(s_i^2 + \lambda)^2} \mathbf{v}_i \mathbf{v}_i^\top \end{aligned}$$

# Variance dans le cas général

Sous l'hypothèse de bruit “blanc” (i.e.,  $\mathbb{E}(\varepsilon) = 0$ ) et de modèle homoscédastique :  $\mathbb{E}(\varepsilon\varepsilon^\top) = \sigma^2 \text{Id}_n$

## Variance / Covariance

$$V_\lambda^{\text{rdg}} = \mathbb{E} \left( (\hat{\theta}_\lambda^{\text{rdg}} - \mathbb{E}(\hat{\theta}_\lambda^{\text{rdg}})) (\hat{\theta}_\lambda^{\text{rdg}} - \mathbb{E}(\hat{\theta}_\lambda^{\text{rdg}}))^\top \right)$$

Calcul explicite :

$$\begin{aligned} V_\lambda^{\text{rdg}} &= \mathbb{E} \left( (\lambda \text{Id}_p + X^\top X)^{-1} X^\top \varepsilon \varepsilon^\top X (\lambda \text{Id}_p + X^\top X)^{-1} \right) \\ &= (\lambda \text{Id}_p + X^\top X)^{-1} X^\top \mathbb{E}(\varepsilon \varepsilon^\top) X (\lambda \text{Id}_p + X^\top X)^{-1} \\ &= \sigma^2 (\lambda \text{Id}_p + X^\top X)^{-2} X^\top X \\ &= \sum_{i=1}^{\text{rg}(X)} \frac{s_i^2 \sigma^2}{(s_i^2 + \lambda)^2} \mathbf{v}_i \mathbf{v}_i^\top \end{aligned}$$

Rem: on retrouve  $V^{\text{MCO}} = \sum_{i=1}^{\text{rg}(X)} \frac{\sigma^2}{s_i^2} \mathbf{v}_i \mathbf{v}_i^\top$  quand  $\lambda \rightarrow 0$

Rem: on retrouve une variance nulle quand  $\lambda \rightarrow \infty$

# Variance dans le cas général

Sous l'hypothèse de bruit “blanc” (i.e.,  $\mathbb{E}(\varepsilon) = 0$ ) et de modèle homoscédastique :  $\mathbb{E}(\varepsilon\varepsilon^\top) = \sigma^2 \text{Id}_n$

## Variance / Covariance

$$V_\lambda^{\text{rdg}} = \mathbb{E} \left( (\hat{\theta}_\lambda^{\text{rdg}} - \mathbb{E}(\hat{\theta}_\lambda^{\text{rdg}})) (\hat{\theta}_\lambda^{\text{rdg}} - \mathbb{E}(\hat{\theta}_\lambda^{\text{rdg}}))^\top \right)$$

Calcul explicite :

$$\begin{aligned} V_\lambda^{\text{rdg}} &= \mathbb{E} \left( (\lambda \text{Id}_p + X^\top X)^{-1} X^\top \varepsilon \varepsilon^\top X (\lambda \text{Id}_p + X^\top X)^{-1} \right) \\ &= (\lambda \text{Id}_p + X^\top X)^{-1} X^\top \mathbb{E}(\varepsilon \varepsilon^\top) X (\lambda \text{Id}_p + X^\top X)^{-1} \\ &= \sigma^2 (\lambda \text{Id}_p + X^\top X)^{-2} X^\top X \\ &= \sum_{i=1}^{\text{rg}(X)} \frac{s_i^2 \sigma^2}{(s_i^2 + \lambda)^2} \mathbf{v}_i \mathbf{v}_i^\top \end{aligned}$$

Rem: on retrouve  $V^{\text{MCO}} = \sum_{i=1}^{\text{rg}(X)} \frac{\sigma^2}{s_i^2} \mathbf{v}_i \mathbf{v}_i^\top$  quand  $\lambda \rightarrow 0$

Rem: on retrouve une variance nulle quand  $\lambda \rightarrow \infty$

# Risque de prédiction

Hypothèse de modèle homoscédastique :  $\mathbb{E}(\boldsymbol{\varepsilon}\boldsymbol{\varepsilon}^\top) = \sigma^2 \text{Id}_n$

Risque (quadratique) de prédiction  $\mathbb{E}\|X\boldsymbol{\theta}^* - X\hat{\boldsymbol{\theta}}_\lambda^{\text{rdg}}\|^2$

Sous l'hypothèse de modèle homoscédastique :

$$R_{\text{pred}}(\boldsymbol{\theta}^*, \hat{\boldsymbol{\theta}}_\lambda^{\text{rdg}}) = \mathbb{E} \left[ (\hat{\boldsymbol{\theta}}_\lambda^{\text{rdg}} - \boldsymbol{\theta}^*)^\top (X^\top X) (\hat{\boldsymbol{\theta}}_\lambda^{\text{rdg}} - \boldsymbol{\theta}^*) \right]$$

Calcul explicite (début identique) :

$$\begin{aligned} R_{\text{pred}}(\boldsymbol{\theta}^*, \hat{\boldsymbol{\theta}}_\lambda^{\text{rdg}}) &= \mathbb{E} \left[ (\hat{\boldsymbol{\theta}}_\lambda^{\text{rdg}} - \boldsymbol{\theta}^*)^\top (X^\top X) (\hat{\boldsymbol{\theta}}_\lambda^{\text{rdg}} - \boldsymbol{\theta}^*) \right] \\ &= \mathbb{E} \left[ (X(X^\top X + \lambda \text{Id}_p)^{-1} X^\top \boldsymbol{\varepsilon})^\top (X(X^\top X + \lambda \text{Id}_p)^{-1} X^\top \boldsymbol{\varepsilon}) \right] \\ &\quad + \boldsymbol{\theta}^{*\top} \lambda^2 (X^\top X) (X^\top X + \lambda \text{Id}_p)^{-2} \boldsymbol{\theta}^* \end{aligned}$$

# Risque de prédiction

Hypothèse de modèle homoscédastique :  $\mathbb{E}(\boldsymbol{\varepsilon}\boldsymbol{\varepsilon}^\top) = \sigma^2 \text{Id}_n$

Risque (quadratique) de prédiction  $\mathbb{E}\|X\boldsymbol{\theta}^* - X\hat{\boldsymbol{\theta}}_\lambda^{\text{rdg}}\|^2$

Sous l'hypothèse de modèle homoscédastique :

$$R_{\text{pred}}(\boldsymbol{\theta}^*, \hat{\boldsymbol{\theta}}_\lambda^{\text{rdg}}) = \mathbb{E} \left[ (\hat{\boldsymbol{\theta}}_\lambda^{\text{rdg}} - \boldsymbol{\theta}^*)^\top (X^\top X) (\hat{\boldsymbol{\theta}}_\lambda^{\text{rdg}} - \boldsymbol{\theta}^*) \right]$$

Calcul explicite (début identique) :

$$\begin{aligned} R_{\text{pred}}(\boldsymbol{\theta}^*, \hat{\boldsymbol{\theta}}_\lambda^{\text{rdg}}) &= \mathbb{E} \left[ (\hat{\boldsymbol{\theta}}_\lambda^{\text{rdg}} - \boldsymbol{\theta}^*)^\top (X^\top X) (\hat{\boldsymbol{\theta}}_\lambda^{\text{rdg}} - \boldsymbol{\theta}^*) \right] \\ &= \mathbb{E} \left[ (X(X^\top X + \lambda \text{Id}_p)^{-1} X^\top \boldsymbol{\varepsilon})^\top (X(X^\top X + \lambda \text{Id}_p)^{-1} X^\top \boldsymbol{\varepsilon}) \right] \\ &\quad + \boldsymbol{\theta}^{*\top} \lambda^2 (X^\top X)(X^\top X + \lambda \text{Id}_p)^{-2} \boldsymbol{\theta}^* \\ &= \sum_{i=1}^{\text{rg}(X)} \frac{s_i^4 \sigma^2}{(s_i^2 + \lambda)^2} + \boldsymbol{\theta}^{*\top} \lambda^2 (X^\top X)(X^\top X + \lambda \text{Id}_p)^{-2} \boldsymbol{\theta}^* \end{aligned}$$

# Risque de prédiction

Hypothèse de modèle homoscédastique :  $\mathbb{E}(\boldsymbol{\varepsilon}\boldsymbol{\varepsilon}^\top) = \sigma^2 \text{Id}_n$

Risque (quadratique) de prédiction  $\mathbb{E}\|X\boldsymbol{\theta}^* - X\hat{\boldsymbol{\theta}}_\lambda^{\text{rdg}}\|^2$

Sous l'hypothèse de modèle homoscédastique :

$$R_{\text{pred}}(\boldsymbol{\theta}^*, \hat{\boldsymbol{\theta}}_\lambda^{\text{rdg}}) = \mathbb{E} \left[ (\hat{\boldsymbol{\theta}}_\lambda^{\text{rdg}} - \boldsymbol{\theta}^*)^\top (X^\top X) (\hat{\boldsymbol{\theta}}_\lambda^{\text{rdg}} - \boldsymbol{\theta}^*) \right]$$

Calcul explicite (début identique) :

$$\begin{aligned} R_{\text{pred}}(\boldsymbol{\theta}^*, \hat{\boldsymbol{\theta}}_\lambda^{\text{rdg}}) &= \mathbb{E} \left[ (\hat{\boldsymbol{\theta}}_\lambda^{\text{rdg}} - \boldsymbol{\theta}^*)^\top (X^\top X) (\hat{\boldsymbol{\theta}}_\lambda^{\text{rdg}} - \boldsymbol{\theta}^*) \right] \\ &= \mathbb{E} \left[ (X(X^\top X + \lambda \text{Id}_p)^{-1} X^\top \boldsymbol{\varepsilon})^\top (X(X^\top X + \lambda \text{Id}_p)^{-1} X^\top \boldsymbol{\varepsilon}) \right] \\ &\quad + \boldsymbol{\theta}^{*\top} \lambda^2 (X^\top X) (X^\top X + \lambda \text{Id}_p)^{-2} \boldsymbol{\theta}^* \\ &= \sum_{i=1}^{\text{rg}(X)} \frac{s_i^4 \sigma^2}{(s_i^2 + \lambda)^2} + \boldsymbol{\theta}^{*\top} \lambda^2 (X^\top X) (X^\top X + \lambda \text{Id}_p)^{-2} \boldsymbol{\theta}^* \end{aligned}$$

Rem:  $\lim_{\lambda \rightarrow 0} R_{\text{pred}}(\boldsymbol{\theta}^*, \hat{\boldsymbol{\theta}}_\lambda^{\text{rdg}}) = \text{rg}(X) \sigma^2$ ,  $\lim_{\lambda \rightarrow \infty} R_{\text{pred}}(\boldsymbol{\theta}^*, \hat{\boldsymbol{\theta}}_\lambda^{\text{rdg}}) = \|X\boldsymbol{\theta}^*\|_2^2$

# Risque de prédiction

Hypothèse de modèle homoscédastique :  $\mathbb{E}(\boldsymbol{\varepsilon}\boldsymbol{\varepsilon}^\top) = \sigma^2 \text{Id}_n$

Risque (quadratique) de prédiction  $\mathbb{E}\|X\boldsymbol{\theta}^* - X\hat{\boldsymbol{\theta}}_\lambda^{\text{rdg}}\|^2$

Sous l'hypothèse de modèle homoscédastique :

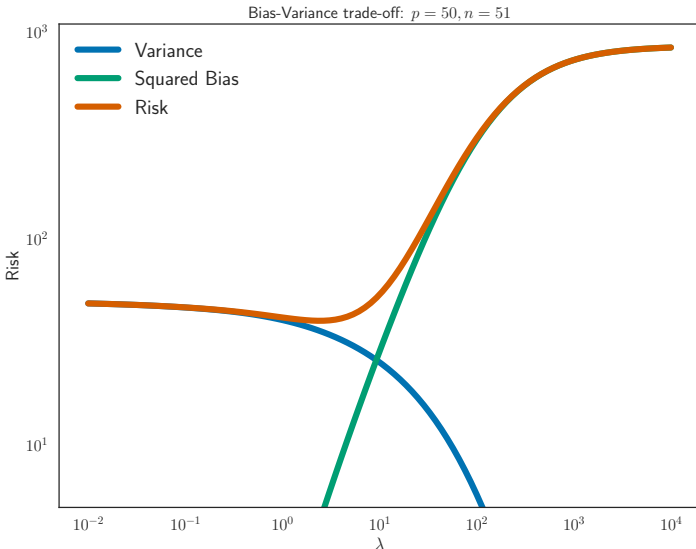
$$R_{\text{pred}}(\boldsymbol{\theta}^*, \hat{\boldsymbol{\theta}}_\lambda^{\text{rdg}}) = \mathbb{E} \left[ (\hat{\boldsymbol{\theta}}_\lambda^{\text{rdg}} - \boldsymbol{\theta}^*)^\top (X^\top X) (\hat{\boldsymbol{\theta}}_\lambda^{\text{rdg}} - \boldsymbol{\theta}^*) \right]$$

Calcul explicite (début identique) :

$$\begin{aligned} R_{\text{pred}}(\boldsymbol{\theta}^*, \hat{\boldsymbol{\theta}}_\lambda^{\text{rdg}}) &= \mathbb{E} \left[ (\hat{\boldsymbol{\theta}}_\lambda^{\text{rdg}} - \boldsymbol{\theta}^*)^\top (X^\top X) (\hat{\boldsymbol{\theta}}_\lambda^{\text{rdg}} - \boldsymbol{\theta}^*) \right] \\ &= \mathbb{E} \left[ (X(X^\top X + \lambda \text{Id}_p)^{-1} X^\top \boldsymbol{\varepsilon})^\top (X(X^\top X + \lambda \text{Id}_p)^{-1} X^\top \boldsymbol{\varepsilon}) \right] \\ &\quad + \boldsymbol{\theta}^{*\top} \lambda^2 (X^\top X) (X^\top X + \lambda \text{Id}_p)^{-2} \boldsymbol{\theta}^* \\ &= \sum_{i=1}^{\text{rg}(X)} \frac{s_i^4 \sigma^2}{(s_i^2 + \lambda)^2} + \boldsymbol{\theta}^{*\top} \lambda^2 (X^\top X) (X^\top X + \lambda \text{Id}_p)^{-2} \boldsymbol{\theta}^* \end{aligned}$$

Rem:  $\lim_{\lambda \rightarrow 0} R_{\text{pred}}(\boldsymbol{\theta}^*, \hat{\boldsymbol{\theta}}_\lambda^{\text{rdg}}) = \text{rg}(X) \sigma^2$ ,  $\lim_{\lambda \rightarrow \infty} R_{\text{pred}}(\boldsymbol{\theta}^*, \hat{\boldsymbol{\theta}}_\lambda^{\text{rdg}}) = \|X\boldsymbol{\theta}^*\|_2^2$

# Biais / Variance : exemple de simulation



$$X \in \mathbb{R}^{50 \times 50}, \theta^* = (2, 2, 2, 2, 2, 0, \dots, 0)^\top$$

# Sommaire

## Définitions de l'estimateur Ridge

Point de vue par SVD

Point de vue par pénalisation

Analyse du biais par la SVD

Analyse de la variance par la SVD

## Choix du paramètre de régularisation

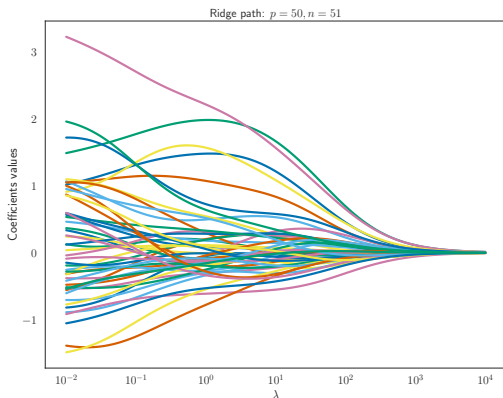
Notion de chemin de régularisation

Validation Croisée (CV)

## Algorithmes et aspects computationnels

# Choix de $\lambda$

```
n_features = 50; n_samples = 51
X = np.random.randn(n_samples, n_features)
theta_true = np.zeros([n_features, ])
theta_true[0:5] = 2.
y_true = np.dot(X, theta_true)
y = y_true + 1. * np.random.rand(n_samples,)
```



# Sommaire

## Définitions de l'estimateur Ridge

Point de vue par SVD

Point de vue par pénalisation

Analyse du biais par la SVD

Analyse de la variance par la SVD

## Choix du paramètre de régularisation

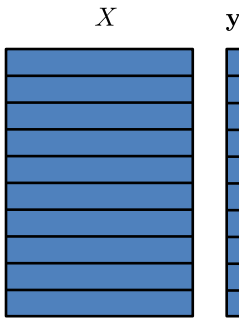
Notion de chemin de régularisation

Validation Croisée (CV)

## Algorithmes et aspects computationnels

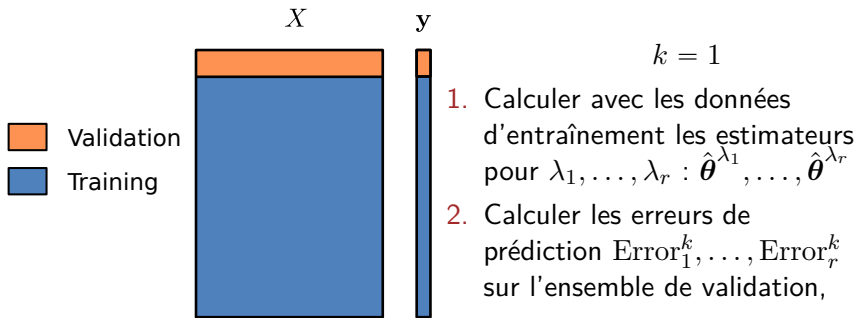
## Validation croisée $K$ -fold ( $K = 10$ )

- ▶ Choisir une grille de taille  $r$  de  $\lambda$  à tester :  $\lambda_1, \dots, \lambda_r$
- ▶ Diviser  $(X, y)$  selon les observations en  $K$  blocs (🇬🇧 : *fold*) :



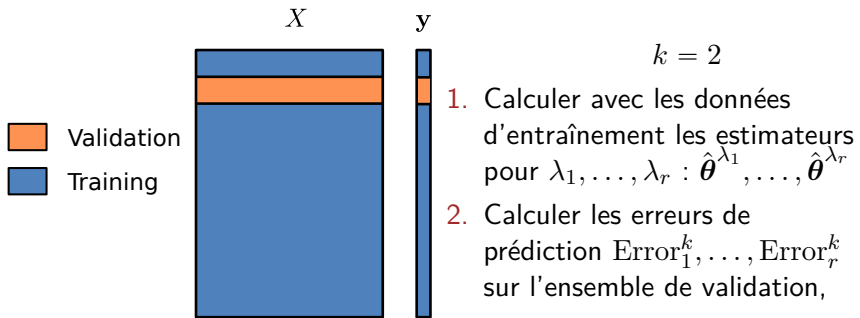
# Validation croisée $K$ -fold ( $K = 10$ )

- ▶ Choisir une grille de taille  $r$  de  $\lambda$  à tester :  $\lambda_1, \dots, \lambda_r$
- ▶ Diviser  $(X, y)$  selon les observations en  $K$  blocs (UK flag : fold) :



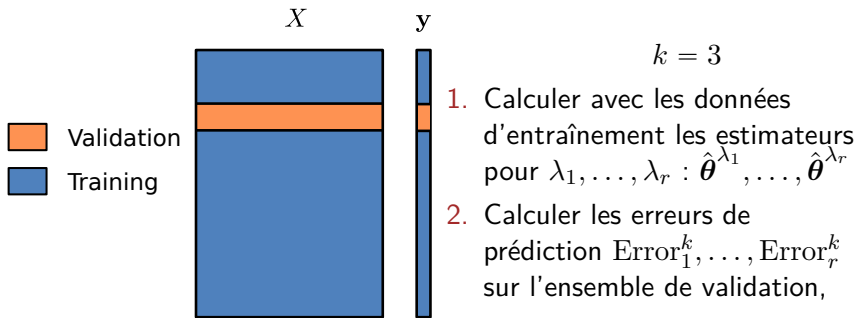
# Validation croisée $K$ -fold ( $K = 10$ )

- ▶ Choisir une grille de taille  $r$  de  $\lambda$  à tester :  $\lambda_1, \dots, \lambda_r$
- ▶ Diviser  $(X, y)$  selon les observations en  $K$  blocs (UK flag : fold) :



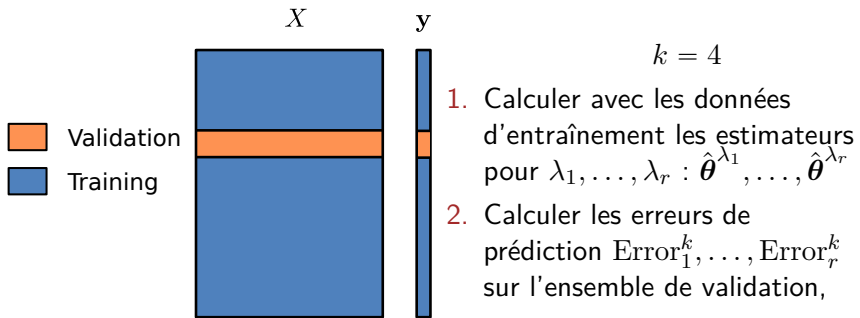
# Validation croisée $K$ -fold ( $K = 10$ )

- ▶ Choisir une grille de taille  $r$  de  $\lambda$  à tester :  $\lambda_1, \dots, \lambda_r$
- ▶ Diviser  $(X, y)$  selon les observations en  $K$  blocs (UK flag : fold) :



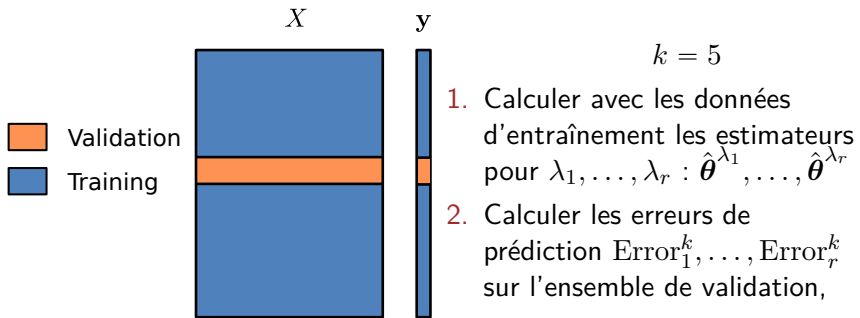
# Validation croisée $K$ -fold ( $K = 10$ )

- ▶ Choisir une grille de taille  $r$  de  $\lambda$  à tester :  $\lambda_1, \dots, \lambda_r$
- ▶ Diviser  $(X, y)$  selon les observations en  $K$  blocs (UK flag : fold) :



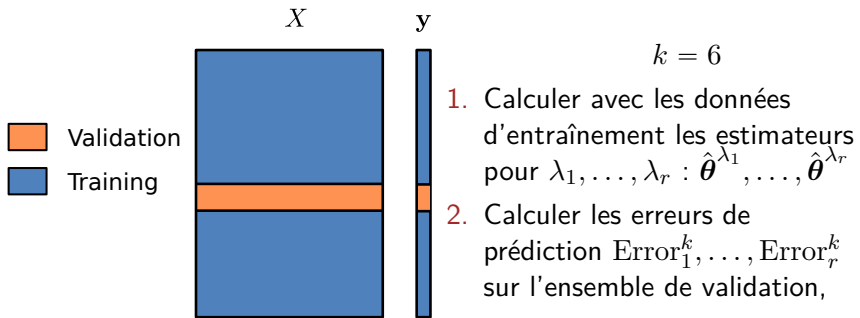
# Validation croisée $K$ -fold ( $K = 10$ )

- ▶ Choisir une grille de taille  $r$  de  $\lambda$  à tester :  $\lambda_1, \dots, \lambda_r$
- ▶ Diviser  $(X, y)$  selon les observations en  $K$  blocs (UK flag : fold) :



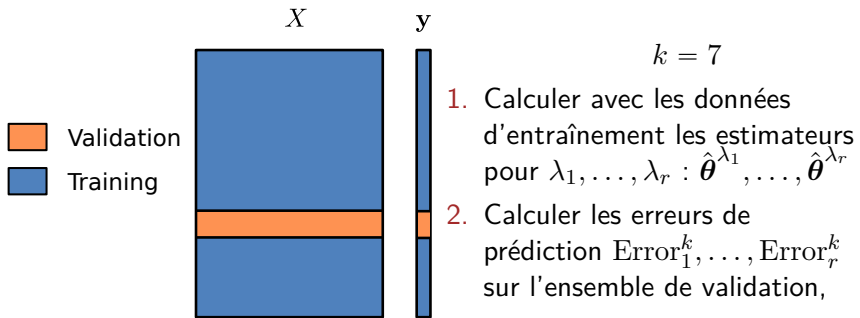
# Validation croisée $K$ -fold ( $K = 10$ )

- ▶ Choisir une grille de taille  $r$  de  $\lambda$  à tester :  $\lambda_1, \dots, \lambda_r$
- ▶ Diviser  $(X, y)$  selon les observations en  $K$  blocs (UK flag : fold) :



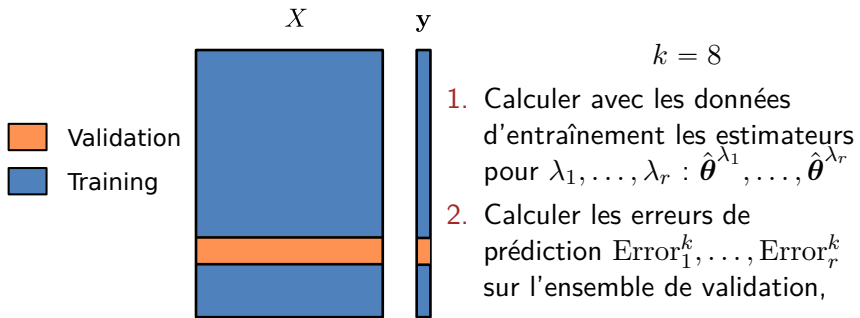
# Validation croisée $K$ -fold ( $K = 10$ )

- ▶ Choisir une grille de taille  $r$  de  $\lambda$  à tester :  $\lambda_1, \dots, \lambda_r$
- ▶ Diviser  $(X, y)$  selon les observations en  $K$  blocs (UK flag : fold) :



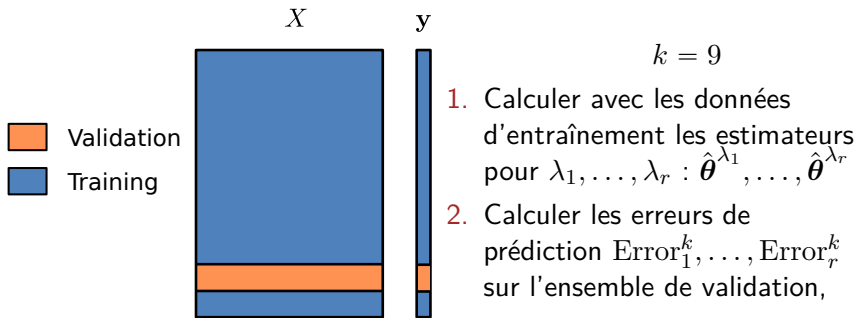
# Validation croisée $K$ -fold ( $K = 10$ )

- ▶ Choisir une grille de taille  $r$  de  $\lambda$  à tester :  $\lambda_1, \dots, \lambda_r$
- ▶ Diviser  $(X, y)$  selon les observations en  $K$  blocs (UK flag : fold) :



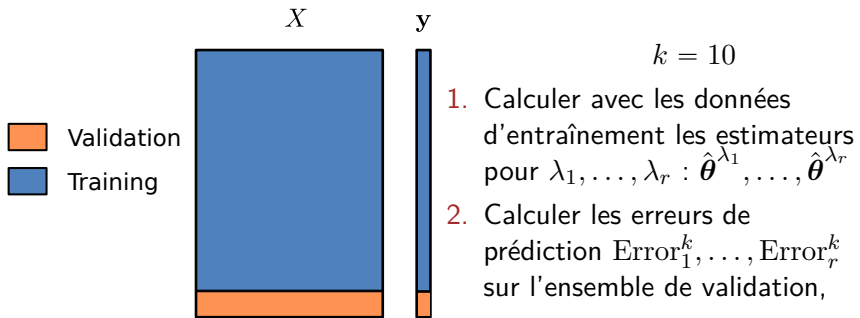
# Validation croisée $K$ -fold ( $K = 10$ )

- ▶ Choisir une grille de taille  $r$  de  $\lambda$  à tester :  $\lambda_1, \dots, \lambda_r$
- ▶ Diviser  $(X, y)$  selon les observations en  $K$  blocs (UK flag : fold) :



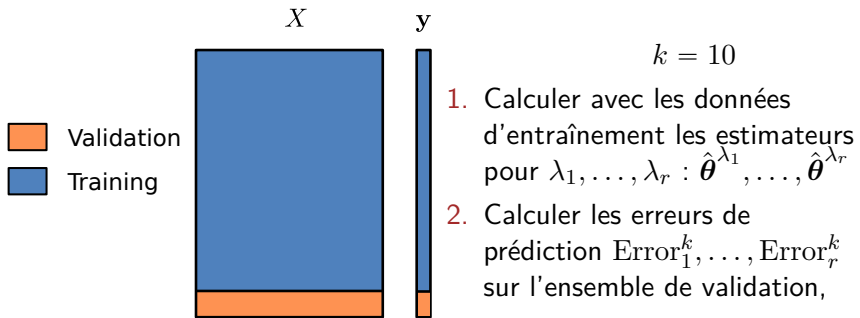
# Validation croisée $K$ -fold ( $K = 10$ )

- ▶ Choisir une grille de taille  $r$  de  $\lambda$  à tester :  $\lambda_1, \dots, \lambda_r$
- ▶ Diviser  $(X, y)$  selon les observations en  $K$  blocs (🇬🇧 : *fold*) :



# Validation croisée $K$ -fold ( $K = 10$ )

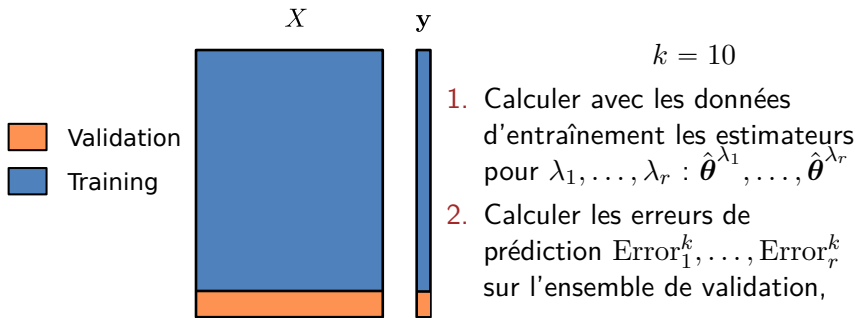
- ▶ Choisir une grille de taille  $r$  de  $\lambda$  à tester :  $\lambda_1, \dots, \lambda_r$
- ▶ Diviser  $(X, y)$  selon les observations en  $K$  blocs (UK flag : fold) :



**Choix du paramètre** : calculer  $\widehat{\text{Error}}_1, \dots, \widehat{\text{Error}}_r$ , moyennes des erreurs et choisir  $\hat{i}^{\text{CV}} \in \llbracket 1, r \rrbracket$  atteignant la plus petite

# Validation croisée $K$ -fold ( $K = 10$ )

- ▶ Choisir une grille de taille  $r$  de  $\lambda$  à tester :  $\lambda_1, \dots, \lambda_r$
- ▶ Diviser  $(X, y)$  selon les observations en  $K$  blocs (UK flag : fold) :



**Choix du paramètre** : calculer  $\widehat{\text{Error}}_1, \dots, \widehat{\text{Error}}_r$ , moyennes des erreurs et choisir  $\hat{i}^{\text{CV}} \in \llbracket 1, r \rrbracket$  atteignant la plus petite  
**Re-calibration** : calculer  $\hat{\theta}^{\lambda_{\hat{i}^{\text{CV}}}}$  sur toutes les observations  $(X, y)$

# CV en pratique

Cas extrême de validation croisée ( : *cross-validation*)

- ▶  $K = 1$  : impossible, au moins  $K = 2$
- ▶  $K = n$  : stratégie “*leave-one-out*” (cf. **Jackknife**) : autant de blocs que de variables

Rem:  $K = n$  : calcul efficace pour Ridge mais assez instable

Conseils pratiques :

- ▶ “randomiser les observations” : observations dans un ordre aléatoire, évite des blocs de données trop similaires (chaque sous-bloc doit être représentatif de l’ensemble)
- ▶ choix habituels :  $K = 5, 10$

Rem: en prédiction on peut aussi moyenner les meilleurs estimateurs obtenus plutôt que de re-calibrer sur toutes les données

# Variantes de CV et sklearn

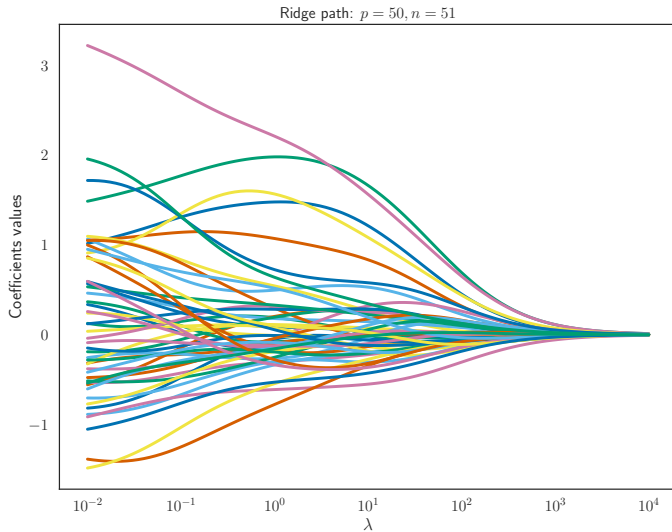
Alternatives classiques :

- ▶ partition aléatoire entre ensemble d'apprentissage et validation ( $K = 2$  en gros, cf. `train_test_split`)
- ▶ variante pour séries temporelles : `TimeSeriesSplit`
- ▶ variante pour la classification et des cas des classes déséquilibrées `StratifiedKFold`

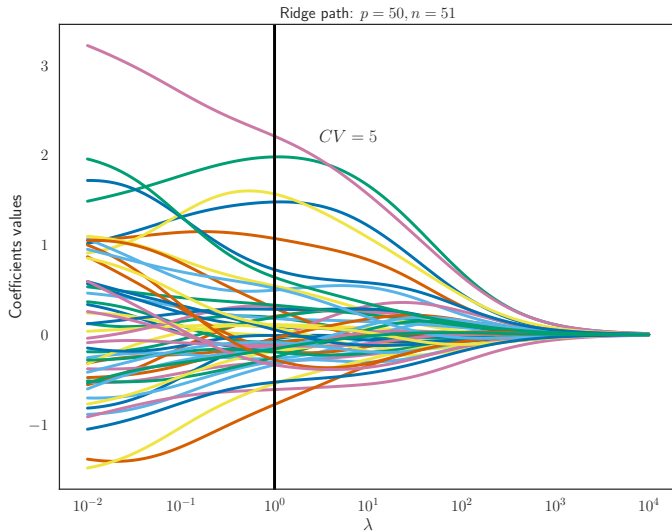
Plus de détails :

[http://scikit-learn.org/stable/modules/cross\\_validation.html](http://scikit-learn.org/stable/modules/cross_validation.html)

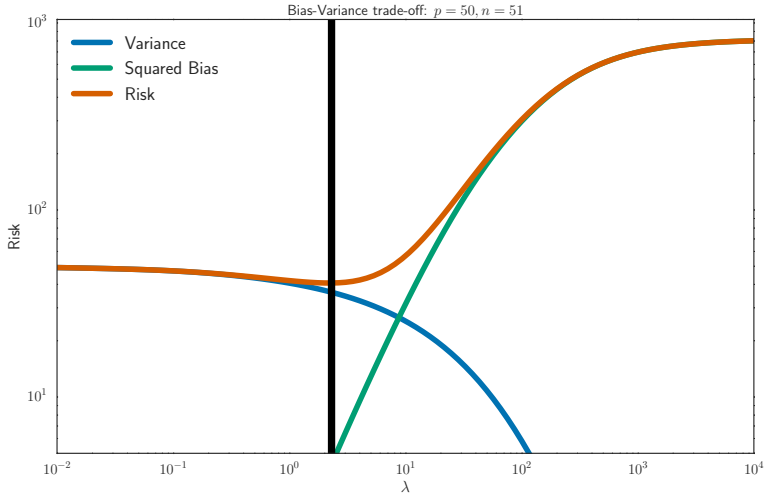
# Choix de $\lambda$ : exemple avec $CV = 5$ (I)



# Choix de $\lambda$ : exemple avec $CV = 5$ (I)



# Choix de $\lambda$ : exemple avec $CV = 5$ (II)



# Régularisation et colonne de zéro

ATTENTION : utilisation de CV avec des données catégorielles  
En effet : si on enlève toute les occurrences d'une modalité de la partie apprentissage, on crée une colonne de zéro (les MCO ne peuvent plus marcher...)

Remèdes :

- ▶ “régularisation” : on peut obtenir une solution
- ▶ faire une séparation apprentissage/test plus poussée pour équilibrer les *folds*

# Algorithmes pour la méthode *Ridge*

- ▶ 'svd' : méthode la plus stable, avantageuse pour calculer plusieurs  $\lambda$  car on ne "paye" la SVD qu'une fois
- ▶ 'cholesky' : décomposition matricielle proposant une formule fermée `scipy.linalg.solve`
- ▶ 'sparse\_cg' : gradient conjugué utile dans les cas creux (UK : *sparse*) et de grande dimension (baisser `tol/max_iter`)
- ▶ approche de type gradient stochastique si  $n$  est très grand

*cf.* le code des fonctions `Ridge`, `ridge_path`, `RidgeCV` dans le module `linear_model` de `sklearn`

Rem: on calcule rarement l'estimateur *Ridge* pour un  $\lambda$ , en général on en calcule plusieurs (10, 100, ...) et on cherche le meilleur

Rem: enjeu crucial de calculer des SVD de grandes tailles

# Références I

- ▶ G. H. Golub and C. F. van Loan.

*Matrix computations.*

Johns Hopkins University Press, Baltimore, MD, fourth edition, 2013.